

3つの関数 $z = x^2 + y^2$, $z = x^2 - y^2$, $z = -x^2 - y^2$ のグラフ (図1.4) から明らかのように, 点 p_0 の指数が 0 ならば, f は点 p_0 で極小値をとる. 指数が 1 ならば, f は点 p_0 の近傍で, $f(p_0)$ より真に大きな値をとることもあるし, 真に小さい値をとることもある. 指数が 2 ならば, f は点 p_0 で極大値をとる. したがって, 非退化な臨界点 p_0 の指数は, p_0 のまわりでの f の振る舞いによって確定する.

指数の確定性 (well-definedness) は次のように証明することもできる. まえの例 1.5 で見たように, 3つの関数 $z = x^2 + y^2$, $z = x^2 - y^2$, $z = -x^2 - y^2$ の Hesse 行列はそれぞれ,

$$\begin{pmatrix} 2 & 0 \\ 0 & 2 \end{pmatrix}, \begin{pmatrix} 2 & 0 \\ 0 & -2 \end{pmatrix}, \begin{pmatrix} -2 & 0 \\ 0 & -2 \end{pmatrix}$$

であった.

これらの行列は, f の Hesse 行列 $Hf(p_0)$ を対角化したものと考えられる. すなわち, 適当な行列 J をみつめて, $J^T Hf(p_0) J$ を計算し, それが対角線の上だけに 0 でない数の並んだ「対角行列」になるようにしたものと思えるわけである. 線形代数で知られた Sylvester の法則によれば, $Hf(p_0)$ のような対称行列を対角行列に直したときに, 対角線上に現れるマイナスの数は, はじめの $Hf(p_0)$ で決まり, 対角化の仕方によらない. これが指数の確定性に他ならない.

第2章で述べるように, 定理 1.11 と同様な定理が一般の m 次元でも証明され, 非退化な臨界点 p_0 の指数が定義できる. その場合の指数の確定性も Sylvester の法則によって保証されるのである.

§1.4 曲面上の Morse 関数

前節までの考察は, すべて, 臨界点の近傍での「局所的」な考察であった. この節から空間全体の形状にかかわる「大域的」な考察に移ろう. この節では, 2次元の空間, すなわち曲面 (surface) を考える. 図1.5 と図1.6 は閉じた曲面, いわゆる閉曲面 (closed surface) の例である. 順に, 球面 (sphere), トラス (torus), 種数 2 の閉曲面, 種数 3 の閉曲面が並んでいる.

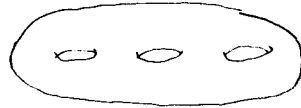
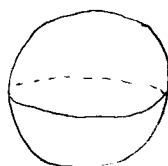


図1.5 球面とトラス

図1.6 種数2の閉曲面と種数3の閉曲面